

щих конвективное движение. Проведенные расчеты позволяют сделать вывод о том, что термокапиллярная конвекция существенным образом влияет как на положение поверхности раздела фаз, так и на ее форму. В целом форма фронта становится менее искривленной, но вблизи боковой поверхности появляется небольшое искривление, обусловленное локальным действием термокапиллярной конвекции. При этом наличие последней может привести как к увеличению ширины расплавленной зоны, так и к ее уменьшению в зависимости от теплового режима на торцах заготовки (рис. 3, а, 4, а). Основываясь на данных [7] и на полученных результатах по выяснению влияния конвекции на процесс бестигельной зонной плавки, можно утверждать, что развитая термокапиллярная конвекция, гладживающая поверхность раздела фаз, создает более благоприятное для технических целей напряженное состояние в растущей твердой фазе. При этом может вообще не возникнуть областей, в которых интенсивность сдвиговых напряжений превосходит критическое и приводит к существенному увеличению плотности дислокаций, либо такие области будут локализованы вдоль боковой поверхности образца. Необходимо, конечно, учитывать и изменение ширины проплавленной зоны, так как для этого параметра процесса существует критическое значение, определяющее устойчивости процесса.

Авторы выражают признательность В. В. Кузнецовой и О. М. Лаврентьевой за полезное обсуждение настоящей работы.

#### ЛИТЕРАТУРА

1. Дональд Д. К. Тепловой режим в условиях вакуумной плавки // Приборы для научных исследований.— 1961.— № 7.
2. Kobayashi N. Power required to form a floating zone and the zone shape // J. Crystal Growth.— 1978.— V. 43.— P. 417.
3. Аниютин Б. М. Численное исследование тепловой задачи для процесса бестигельной зонной плавки // Задачи гидромеханики и тепломассообмена со свободными границами: Межвуз. сб. науч. тр./Новосиб. гос. ун-т.— Новосибирск, 1987.
4. Славченко С. Г., Кожухарова Ж. Д. Численное моделирование термокапиллярной конвекции в нецилиндрической плавающей зоне кристалла // Численные методы и их приложения.— София, 1985.
5. Апанович Ю. В., Люмкис Е. Д. Моделирование процессов тепломассообмена при зонной перекристаллизации/Тр. III Всесоюз. конф. «Моделирование роста кристаллов».— Рига, 1990.
6. Якоб М. Вопросы теплопередачи.— М.: ИЛ, 1960.
7. Белова И. В. Расчет температуры и термоупругих напряжений в монокристаллах при бестигельной зонной плавке // Математическое моделирование. Прикладные задачи математической физики.— Рига, 1990.
8. Математическое моделирование конвективного тепломассообмена на основе уравнений Навье — Стокса/В. И. Полежаев, А. В. Бунз, Н. А. Верезуб и др.— М.: Наука, 1987.
9. Хайгеман Л., Янг Д. Прикладные и итерационные методы.— М.: Мир, 1986.

г. Новосибирск

Поступила 4/XII 1992 г.,  
в окончательном варианте — 11/I 1993 г.

УДК 548.01:66.065

А. И. Мошинский

#### ОБ ОДНОМ ПРЕДЕЛЬНОМ РЕЖИМЕ КРИСТАЛЛИЗАЦИИ ПОЛИДИСПЕРСНОЙ СИСТЕМЫ ИЗ РАСТВОРОВ

Описание поведения полидисперсной системы частиц при наличии фазового перехода представляет интерес при исследовании ряда природных и технологических проблем. Примерами могут служить рост капель тумана при конденсации, обратный ему процесс — исчезновение капель из-за испарения, кристаллизация и растворение твердых частиц в растворе при

© А. И. Мошинский, 1993

наличии определенного пересыщения (недосыщения) и т. п. Математические модели подобных процессов содержат общие элементы, вследствие чего часто при их анализе используют аналогичные алгоритмы.

Наиболее полное описание данного круга явлений дают методы механики гетерогенных сред [1—3]. Однако применение этого подхода сопряжено с определенными трудностями, а также требует привлечения некоторых замыкающих соотношений, что часто неконтролируемым образом оказывается на точности расчетов. Поэтому на практике широко распространен другой подход, связанный с введением функции распределения частиц по размерам. Знание функции распределения позволяет находить изменение во времени всех интересных для приложений величин: число частиц, их средний размер, удельную поверхность, полный объем всех частиц твердой фазы и др. Определенное представление о подходах к задачам данной нелинейной проблематики можно получить из [4—9]. Особенность процессов, анализируемых в цитированных работах,— отсутствие внешних источников и стоков частиц, что приводит к эволюции системы до тех пор, пока полностью не исчезнет пересыщение или другая (аналогичная) движущая сила процесса. При наличии ввода и (или) вывода вещества в сплошной и дисперсной фазах задача усложняется и приобретает новые качественные черты. Так, при некоторых условиях наблюдают потерю устойчивости стационарного состояния и развитие колебательных явлений [10—14]. В подобного рода задачах первостепенными становятся вопросы устойчивости процесса и динамики переходных явлений при внезапном изменении параметров.

В данной работе рассматривается предельное решение задачи кристаллизации при наличии ввода раствора, содержащего кристаллизуемый компонент, и вывода части кристаллов с потоком из системы.

**1. Постановка задачи.** При интенсивном перемешивании функция распределения частиц по размерам  $F$  будет зависеть только от размера кристалла  $r$  и времени  $\tau$ . Основное уравнение баланса числа кристаллов запишем в виде

$$(1.1) \quad \partial F / \partial \tau + U G \partial (F/r^\alpha) / \partial r = -F(r, \tau) / \tau_1,$$

где скорость роста кристаллов принята в форме

$$(1.2) \quad dr/d\tau = UG/r^\alpha, \quad U = \text{const}, \quad \alpha = \text{const}.$$

Считаем скорость роста пропорциональной пересыщению раствора  $G$ , хотя принципиальных затруднений не вызвали бы и более сложные законы, применяемые на практике, в частности степенные.

В настоящей работе под пересыщением понимается величина разности между текущей и равновесной концентрациями выделяемого вещества в растворе, т. е. отсутствию пересыщения соответствует значение  $G = 0$ . Значение постоянной  $\alpha$  зависит от режима массообмена кристаллов с несущей средой. Наиболее часто используют теоретически обоснованные законы кинетического роста кристаллов ( $\alpha = 0$  [8, 11, 12]) и «диффузионного» ( $\alpha = 1$  [13, 15, 16]).

По формуле (1.2) при отрицательном  $U$  можно описывать и растворение частиц. Изменение знака  $U$  повлечет за собой такую перестройку поля характеристик уравнения (1.1), которая приведет к ненужности дополнительного условия по переменной  $r$ . Это обстоятельство в целом упрощает анализ. Далее считаем, что  $U > 0$ . Отметим также, что приток частиц в систему (кроме механизма нуклеации) рассматривать не будем. Параметр  $\tau_1$  выражает характерное время переноса кристаллов через аппарат. Он равен отношению объема кристаллизатора к объемному расходу твердой фазы.

Второе уравнение, которое следует решать совместно с (1.1), выражает баланс целевого вещества в растворе и имеет вид

$$(1.3) \quad dG/d\tau = -\beta U G \int_0^r r^{1-\alpha} F(r, \tau) dr + \chi (G_* - G) / \tau_1.$$

Постоянная  $\beta$  в (1.3) характеризует форму кристаллов, их плотность и т. п. Вариант ее определения приведен, например, в [14]. Скорость перехода вещества из раствора в твердую фазу определяется вторым слагаемым в

уравнении (1.3). Перенос растворенного вещества может происходить, вообще говоря, с другой скоростью. Это обстоятельство учитывает параметр  $\kappa$ , равный отношению расхода целевого вещества в растворе к расходу вещества в кристаллах. Величину  $G_*$  будем считать постоянной.

Уравнения (1.1), (1.3) дополняют начальные и граничные условия

$$(1.4) \quad F|_{t=0} = F^0(r), \quad G|_{t=0} = G^0, \quad F/z^\alpha|_{r=0} = JG''/(UG),$$

где  $JG''$  — интенсивность нуклеации ( $J$  и  $m$  — постоянные). Здесь принята часто используемая на практике степенная форма закона для интенсивности возникновения частиц новой фазы. Введем безразмерные переменные и параметры:

$$(1.5) \quad f = F\beta\rho^4/G^0, \quad f^0 = F^0\beta\rho^4/G^0, \quad C = G/G_0, \quad C_* = G_*/G^0, \\ \tau_2 = \rho^{\alpha+1}/UG^0, \quad t = \tau/\tau_2, \quad \epsilon = \tau_2/\tau_1, \quad z = r/\rho$$

( $\rho$  — масштаб для размера кристалла, который можно, например, определить из характера изменения начальной функции распределения  $F^0(r)$ ). В переменных (1.5) задача (1.1) — (1.4) запишем как

$$(1.6) \quad \partial f / \partial t + C \partial (f/z^\alpha) / \partial z = -\epsilon f(z, t);$$

$$(1.7) \quad dC/dt = -C \int_0^\infty z^{2-\alpha} f(z, t) dz + \epsilon \kappa (C_* - C);$$

$$(1.8) \quad f|_{t=0} = f^0(z), \quad C|_{t=0} = 1, \quad f/z^\alpha|_{z=0} = BC^n \\ (B = J\beta\rho^{\alpha+4}(G^0)^{m-2}/U, \quad n = m - 1).$$

Формулы (1.5) показывают, что задача (1.1) — (1.4) содержит два характерных времени:  $\tau_1$  и  $\tau_2$ . В зависимости от соотношений этих масштабов будут преобладать те или иные слагаемые в определенных временных интервалах. Здесь рассмотрим вариант  $\epsilon \ll 1$  и построим решение задачи (1.6) — (1.8) при помощи метода малых возмущений [17].

2. Решение при масштабе времени  $\tau_2$ . Разыскивая решение проблемы в виде рядов

$$(2.1) \quad f = f_0(z, t) + \epsilon f_1(z, t) + \dots, \quad C = C_0(t) + \epsilon C_1(t) + \dots,$$

затем подставляя их в соотношения (1.6) — (1.8) и выделяя слагаемые одинакового порядка по  $\epsilon$ , приходим в главном приближении по  $\epsilon$  к задаче

$$(2.2) \quad \partial f_0 / \partial t + C_0 \partial (f_0/z^\alpha) / \partial z = 0;$$

$$(2.3) \quad dC_0 / dt = -C_0 \int_0^\infty z^{2-\alpha} f_0(z, t) dz;$$

$$(2.4) \quad f_0|_{t=0} = f^0(z), \quad C_0|_{t=0} = 1, \quad f_0/z^\alpha|_{z=0} = BC_0^n.$$

Введем моментные характеристики функции  $f_0$  (аналогичным образом и других функций) по формуле

$$(2.5) \quad \langle f_0 \rangle_3 = \int_0^\infty z^3 f_0(z, t) dz.$$

Легко видеть, что система (2.2), (2.3) имеет интеграл

$$(2.6) \quad 3C_0 + \langle f_0 \rangle_3 = 3 + \langle f^0 \rangle_3 = \text{const.}$$

Основное приближение по  $\epsilon$  задачи (1.6) — (1.8) (система (2.2), (2.4), (2.6)) — характерная проблема периодической массовой кристаллизации, которая (при различных значениях параметров) неоднократно (см., например, [8, 9, 18]) рассматривалась в литературе. В цитированных и других работах были получены как точные, так и приближенные решения проблемы (2.2), (2.4), (2.6). Поэтому будем считать решение данной задачи (т. е. функцию  $f_0$  и др.) известным.

Отметим ранее [9] установленный факт. Решение задачи, т. е. функция  $f_0(z, t)$ , при  $t \rightarrow \infty$  стремится к равновесному значению  $f_0(z, \infty)$ . При этом

$C_0$  стремится к нулю. Что же касается функции  $C$ , то она не достигает нулевой отметки, а стремится к некоторой постоянной первого порядка по малому параметру  $\epsilon$ . Функция распределения  $f$  имеет  $f_0$  в качестве «промежуточного» предела. После выхода решения на  $f_0(z, \infty)$  начинается более медленная эволюция функции  $f$  с характерным временем  $\tau_1$  или, по терминологии [17], изменения в системе происходят с «внешним временем»  $T = \tau/\tau_1 = \epsilon t$ . Таким образом, мы приходим к необходимости построения «внешнего» разложения для более полного описания решения задачи.

**3. Стационарное решение.** Сначала рассмотрим стационарное решение задачи (1.1), (1.3), (1.4). Это даст представление о порядках величин основных переменных, которые сформируются при достаточно больших значениях времени. Введем новые переменные:

$$(3.1) \quad \psi(\zeta, t) = f(z, t)/z^\alpha, \quad \zeta = z^{\alpha+1}/(\alpha + 1).$$

Легко показать, что моменты функции  $f$  по переменной  $z$  и моменты функции  $\psi$  по  $\zeta$  связаны соотношением [9]

$$(3.2) \quad \langle f \rangle_j = (\alpha + 1)^{j/(\alpha+1)} \langle \psi \rangle_{j/(\alpha+1)}.$$

Стационарное уравнение (1.6) имеет интеграл

$$(3.3) \quad \psi_\infty(\zeta) = BC_\infty^n \exp(-\epsilon \zeta/C_\infty),$$

записанный в переменных (3.1), где для определения неизвестного значения пересыщения при равновесии  $C_\infty$  при помощи стационарного уравнения (1.7) получаем соотношение

$$(3.4) \quad C_\infty(1 + \alpha)^\gamma \langle \psi \rangle_\gamma = B\Gamma(1 + \gamma)(1 + \alpha)^\gamma C_\infty^{n+\gamma+2} = \epsilon \kappa (C_* - C_\infty)$$

( $\gamma = (2 - \alpha)/(1 + \alpha)$ ,  $\Gamma(z)$  — гамма-функция Эйлера). Из (3.4) легко видеть, что, во-первых, при интересных для практики положительных значениях всех параметров это уравнение однозначно разрешимо относительно  $C_\infty$ . Во-вторых, при малых значениях  $\epsilon$  величина  $C_\infty$  также мала и из (3.4) приближенно находим

$$(3.5) \quad C_\infty = \{\epsilon \kappa C_* / [B\Gamma(1 + \gamma)(1 + \alpha)^\gamma]\}^{1/(n+2+\gamma)}.$$

Данное выражение показывает порядок по  $\epsilon$  величины  $C_\infty$ , а при подстановке в (3.3) также дает порядок для функции  $\psi_\infty(\zeta)$ .

**4. Решение при масштабе времени  $\tau_1$ .** Как было отмечено выше, решение системы (2.2) — (2.4) приводит к стремлению к нулю при  $t \rightarrow \infty$  функции  $C_0$  главного приближения, тогда как  $f_0$  остается конечной величиной. Из уравнения для функции  $C_1$

$$dC_1/dt = -C_0 \langle f_1 \rangle_{2-\alpha} - C_1 \langle f_0 \rangle_{2-\alpha} + \kappa (C_* - C_0)$$

можно ожидать (полное исследование приближения порядка  $\epsilon$  проводить не будем), предполагая, что  $dC_1/dt \rightarrow 0$  при  $t \rightarrow \infty$ , конечности  $C_1$  при  $t \rightarrow \infty$ :  $C_1 \rightarrow \kappa C_*/\langle f_0(z, \infty) \rangle_{2-\alpha}$ , поэтому естественным порядком при временном масштабе  $\tau_1$  будет  $\epsilon$  для разложения пересыщения и  $O(1)$  по  $\epsilon$  для функции распределения, как это следует из принципа сращивания [17].

Сделаем одно важное замечание. Уравнения (2.2) и полученное ниже (4.4) имеют гиперболический тип, и в силу этого в задачах кристаллизации влияние начального и граничного условий по переменным  $t$  и  $z$  и т. п. в известной степени распространяется каждое в своей области. Эти области

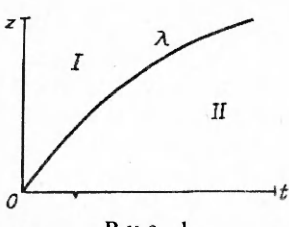


Рис. 1

разделены характеристикой, выходящей из начала координат  $dz/dt = C$ ,  $z|_{t=0} = 0$  (рис. 1). Аналогичные задачи обсуждаются, например, в [19]. Данная характеристика на рис. 1 обозначена  $\lambda$ , что будет использоваться в дальнейшем. На самом деле определенное «взаимодействие» решений друг с другом в каждой из этих областей все же имеет место посредством функции  $C$ , которая едина для всего объема двухфазной системы. Важно, что масштабы

величины  $f$  в каждой из двух областей определяются своим дополнительным условием. Если для решения п. 2 это было незаметно, поскольку там принято, что порядки начального и граничного условий одинаковы, то при переходе к временным масштабам  $\tau_1$ , когда  $C = O(\epsilon)$ , граничное условие (1.8) диктует следующий порядок для функции распределения:  $f = O(\epsilon^n)$ . Это относится только к области  $II$  на рис. 1, тогда как рассуждения предыдущего абзаца относятся к области  $I$ , и именно для нее осуществляется срашивание по временной переменной. Таким образом, приходим к необходимости основное приближение при временах порядка  $\tau_1$  строить в форме

$$(4.1) \quad C(T) = \epsilon C^*(T) + \dots, \quad f^* = \begin{cases} f_I^*(z, T) + \dots & \text{для зоны } I, \\ \epsilon^n f_{II}^*(z, T) + \dots & \text{для зоны } II, \end{cases}$$

где звездочка сверху помечает разложения при масштабе  $\tau_1$ . Подставляя (4.1) в (1.6)–(1.8), записанные при  $T = \epsilon t$  в виде

$$(4.2) \quad \partial f / \partial T + (C/\epsilon) \partial (f/z^\alpha) / \partial z = -f(z, T);$$

$$(4.3) \quad dC/dT = - (C/\epsilon) \int_0^\infty z^{2-\alpha} f(z, T) dz + \kappa (C_* - C),$$

приходим в главном приближении к задаче

$$(4.4) \quad \partial f^* / \partial T + C^* \partial (f^*/z^\alpha) / \partial z = -f^*(z, T);$$

$$(4.5) \quad C^*(T) \int_0^\infty z^{2-\alpha} f^*(z, T) dz = \kappa C_* = C^*(T) \langle f^* \rangle_{2-\alpha};$$

$$(4.6) \quad f_I^*|_{T=0} = f_0(z, \infty), \quad f_{II}^*/z^\alpha|_{z=0} = B(C^*)^n.$$

Уравнение (4.3) в главном приближении приняло «стационарную» форму (4.5), и поэтому для  $C^*$  не нужно начальное условие. Начальное условие для уравнения (4.4) получено при помощи процедуры предельного срашивания [17]. Уравнение (4.4) записывается одинаково для областей  $I$  и  $II$ , поэтому нижние индексы там опущены. Момент  $\langle f^* \rangle_{2-\alpha}$  будет состоять из двух частей:

$$(4.7) \quad \langle f^* \rangle_{2-\alpha} = \int_\lambda^\infty z^{2-\alpha} f_I(z, T) dz + \int_0^\lambda z^{2-\alpha} f_{II}(z, T) dz.$$

Здесь функция  $\lambda(T)$  — та самая, разделяющая две области характеристика (см. рис. 1), которая определяется уравнением

$$(4.8) \quad d\lambda/dT = C^*, \quad \lambda|_{T=0} = 0.$$

Далее будем считать, что  $C_* \neq 0$ , иначе задача заметно упростится, поскольку из (4.5) получим  $C^* = 0$ , и уравнение (4.4), по существу, станет обычным дифференциальным.

Задача (4.4)–(4.6) не является окончательной в том смысле, что ее решение не выходит на стационарный режим (3.3). Дело в том, что со временем значимость слагаемых в (4.7) меняется. Если на начальном этапе по времени вторым слагаемым (порядка  $\epsilon^n$ ) можно пренебречь, то далее механизм удаления частиц из системы (последнее слагаемое в (4.4)) приводит к заметному убыванию функции  $f_I^*$ . Это, так же как и рост нижнего предела  $\lambda(T)$  в первом интегральном слагаемом (4.7), приводят к его уменьшению. Второе же слагаемое в (4.7) постепенно «подпитывается» за счет нуклеации, что выражает граничное условие (4.6). При достаточно больших значениях времени его роль становится доминирующей и именно решение в области  $II$  рис. 1 со временем переходит в решение для стационарного режима. Формулы (3.3) и (3.5) показывают, какие порядки основных переменных должны установиться при выходе на стационарное решение. Эти порядки не совпадают с выбранными в (4.1), т. е. соотношения (4.4)–(4.6) описывают промежуточную стадию развития процесса.

Если пренебречь решением в области  $H$  как малым по сравнению с решением в области  $I$  и перейти к переменным типа (3.1) для  $f^*$  и  $z$ , то задача (4.4) — (4.6) запишется в виде

$$(4.9) \quad \frac{\partial \psi^*}{\partial T} + (d\lambda/dT) \frac{\partial \psi^*}{\partial \zeta} = -\psi^*;$$

$$(4.10) \quad \langle \psi^* \rangle_\gamma = \omega dT/d\lambda, \quad \omega = \kappa C_*/(1 + \alpha)^2;$$

$$(4.11) \quad \psi^*|_{T=0} = \psi_0(\zeta, \infty) = f_0(z, \infty)/z^\alpha, \quad \psi^*|_{\zeta=0} = 0,$$

где использованы формулы (3.2) и (4.8). Функция распределения выражается после решения уравнения (4.9) (в котором временно функция  $\lambda(T)$  считается известной) зависимостью

$$(4.12) \quad \psi^*(\zeta, T) = \exp(-T) \psi_0[\zeta - \lambda(T)] H[\zeta - \lambda(T)]$$

$(H(z) = \begin{cases} 1, & z > 0, \\ 0, & z < 0 \end{cases}$  — функция Хевисайда). Вычисление момента порядка  $\gamma$  от функции  $\psi^*$  (4.12) и подстановка результата в (4.10) приводят к уравнению для определения зависимости  $\lambda(T)$ :

$$(4.13) \quad \omega dT/d\lambda = \exp(-T) \int_0^\infty [\zeta + \lambda(T)] \Gamma \psi_0(\zeta, \infty) d\zeta, \quad T|_{\lambda=0} = 0;$$

оно имеет следующее решение:

$$(4.14) \quad T = \ln \left\{ 1 + \frac{1}{\omega(1+\gamma)} \int_0^\infty \psi_0(\xi, \infty) [(\xi + \lambda)^{\gamma+1} - \xi^{\gamma+1}] d\xi \right\},$$

в чем можно убедиться непосредственной проверкой. Формулы (4.12) и (4.14) решают задачу (4.9) — (4.11) в параметрическом виде через параметр  $\lambda$ . Достаточно просто выглядит и выражение для моментов произвольного порядка  $j$ :

$$(4.15) \quad \langle \psi^* \rangle_j = \int_0^\infty \psi_0(\xi, \infty) (\xi + \lambda)^j d\xi \left\{ 1 + \frac{1}{\omega(1+\gamma)} \int_0^\infty \psi_0(\xi, \infty) \times \right. \\ \left. \times [(\xi + \lambda)^{\gamma+1} - \xi^{\gamma+1}] d\xi \right\}^{-1}.$$

Не конкретизируя классы функций  $\psi_0(\zeta, \infty)$ , на простейших примерах можно убедиться, что функция  $\lambda(T)$  монотонно (монотонность очевидна из (4.13)) стремится к бесконечности со временем, что согласуется со сказанным ранее. При помощи (4.14) несложно также проследить эволюцию моментов (4.15) во времени.

Особенностью рассматриваемой задачи является то, что при одном и том же временном масштабе  $\tau_1$  происходит заметное изменение порядков по  $\epsilon$  искомых величин. Имея целью получение основного приближения к решению проблемы, нет необходимости строить дополнительные разложения и т. п., достаточно в соответствующих уравнениях не делать предельного перехода  $\epsilon \rightarrow 0$  в тех случаях, когда подобным образом упрощенные слагаемые в определенном диапазоне изменения параметров все же существенно проявляют себя. В данной задаче такая концепция приводит при временах порядка  $\tau_1$  к системе уравнений (4.9) — (4.11) при замене правой части граничного условия выражением  $B(\epsilon C^*)^n$ . Этую систему можно записать единым уравнением для функции  $\psi$ , у которой, так же как и у величины  $C$ , для простоты записи далее звездочку сверху ставить не будем. Таким образом, задачу эволюции кристаллизируемой системы при временах порядка  $\tau_1$  запишем в виде

$$(4.16) \quad \frac{\partial \psi}{\partial T} + \omega \langle \psi \rangle_\gamma^{-1} \frac{\partial \psi}{\partial \zeta} = -\psi;$$

$$(4.17) \quad \psi|_{T=0} = \psi_0(\zeta, \infty), \quad \psi|_{\zeta=0} = B [\epsilon \omega / \langle \psi \rangle_\gamma]^n.$$

Как и ранее, для функции распределения получаем выражение

$$(4.18) \quad \psi^*(\zeta, T) = \exp(-T) \psi_0[\zeta - \lambda(T)] H[\zeta - \lambda(T)] + \\ + B\varepsilon^n \int_0^T [C(x)]^\gamma \delta[\zeta - \lambda(T) + \lambda(x)] \exp(x) dx.$$

Основное значение для замыкания задачи имеет момент порядка  $\gamma$ :

$$(4.19) \quad \langle \psi \rangle_\gamma = \exp(-T) \left\{ \int_0^\infty [\zeta + \lambda(T)]^\gamma \psi_0(\zeta, \infty) d\zeta + \right. \\ \left. + B\varepsilon^n \int_0^T [C(x)]^\gamma [\lambda(T) - \lambda(x)]^\gamma \exp(x) dx \right\}.$$

Другие моменты также находятся из (4.19) заменой  $\gamma$  на соответствующий индекс.

Уравнение (4.19) в совокупности с соотношениями (4.5), (4.8) (или (4.10)) является основным уравнением задачи. Заметим, что (4.19) можно, используя (4.5) и (4.8), записать как одно уравнение для определения функции  $\lambda(T)$ . После того как эта функция найдена, решение представляется формулой (4.18), а любой интересующий момент — (4.19) (при замене  $\gamma$  на  $j$ ).

Важно отметить, что момент порядка  $\gamma + 1$  по  $\zeta$ , т. е. третий, согласно (3.2), по  $z$  можно определить из соотношений (4.16), (4.17) и без решения системы (4.19), (4.3), (4.8). Действительно, умножив (4.16) на  $\zeta^{1+\gamma}$  и проинтегрировав по  $\zeta$  в пределах  $(0, \infty)$ , получим уравнение

$$d\langle \psi \rangle_{1+\gamma}/dT = \omega(\gamma + 1) - \langle \psi \rangle_{1+\gamma},$$

интегрирование которого дает

$$\langle \psi \rangle_{1+\gamma} = \omega(\gamma + 1) + [\langle \psi_0(\zeta, \infty) \rangle_{1+\gamma} - \omega(\gamma + 1)] \exp(-T).$$

Данное обстоятельство особенно интересно для практики, поскольку третий момент функции  $f$  пропорционален суммарному объему кристаллов. Иногда знание только этой величины и требуется.

Уравнение (4.19) заметно упрощается при целых  $\gamma$ . Покажем, что в этом случае решение всей задачи сводится к интегрированию нелинейной системы обыкновенных дифференциальных уравнений для моментов. Так, число кристаллов определяется уравнением, полученным интегрированием (4.16) по  $\zeta$  в пределах  $(0, \infty)$ :

$$(4.20) \quad d\langle \psi \rangle_0/dT = B\varepsilon^n \omega^{n+1} / \langle \psi \rangle_\gamma^{n+1}.$$

Далее, легко заметить, что моменты с индексами, отличающимися на единицу, связаны дифференциальным соотношением

$$(4.21) \quad d\langle \psi \rangle_k/dT = \omega k \langle \psi \rangle_{k-1}^{-1} - \langle \psi \rangle_k, \quad k \geq 1,$$

т. е. при целом  $\gamma$ , начиная с уравнения (4.21) при  $k = \gamma$ , последовательно переходим к уравнению с  $k = \gamma - 1$  и т. д. вплоть до  $k = 1$ . Эти  $k$  уравнений вместе с (4.20) образуют замкнутую систему, начальные условия к которой получаются вычислением соответствующих моментов функции  $\psi_0(\zeta, \infty)$  (4.17). После интегрирования данной системы из (4.5) находится пересыщение, а присутствующий в расчетных формулах параметр  $\lambda$  определяется простой квадратурой (4.8).

**5. Устойчивость стационарного решения.** Поскольку известно [10—12, 14], что процесс кристаллизации может протекать в автоколебательном режиме, остается открытым вопрос, является ли стационарное решение (3.3), (3.5) устойчивым. В данном случае, так как мы использовали предельное упрощение  $\varepsilon \rightarrow 0$  при переходе от (3.4) к (3.5), речь пойдет о временных возмущениях с характерным временем  $\tau_1$ , т. е. об устойчивости стационарного решения задачи (4.16), (4.17).

Подставим выражение  $\psi = \psi_\infty(\zeta) + \hat{\psi}(\zeta) \exp(pT)$  в уравнение (4.16) и граничное условие (4.17). Считая возмущение решения  $\psi$  малым по срав-

нению с  $\psi_\infty$ , линеаризуем получившееся уравнение в окрестности  $\psi_\infty$ . Для определения возмущения  $\psi$  имеем задачу

$$p\hat{\psi} + \frac{\omega}{(\psi_\infty)_\gamma} \frac{d\psi}{d\zeta} - \frac{\omega(\psi)_\gamma}{(\psi_\infty)_\gamma^2} \frac{d\psi_\infty}{d\zeta} = \hat{\psi}, \quad \hat{\psi}|_{\zeta=0} = \frac{Bn(\omega\epsilon)^n}{(\psi_\infty)_\gamma^{n+1}} \langle \hat{\psi} \rangle_\gamma.$$

После несложных, но длинных выкладок приходим к уравнению для нахождения частотного параметра  $p$ :

$$(5.1) \quad (p + 1)^{\gamma+2} + np = 1.$$

Очевидно, что одним из корней (5.1) является точка  $p = 0$ . Она лежит на границе области устойчивости и не зависит от параметров  $\gamma$  и  $n$ . Возможная потеря устойчивости решения в данной точке связана с появлением в ней корня (5.1) второго порядка, что будет при  $\gamma + 2 + n = 0$ . Это равенство не реализуется при обычно используемых на практике значениях  $\gamma > 0$ ,  $n > 0$ , однако определенный интерес все же представляет для нисходящих ветвей ( $n < 0$ ) функции, описывающей нуклеацию в связи с эффектом Таммана [14, 20]. При целых значениях  $\gamma$  уравнение (5.1) представляет собой классическую проблему определения корней полинома. По вопросам анализа положения этих корней в плоскости  $p$ , что актуально для задачи устойчивости стационарного решения, имеется ряд теорем и методов общего характера [21], часто не требующих вычисления самих корней полинома.

В более общей ситуации для определения границы области устойчивости подставим в (5.1)  $p = iv$ , где  $v$  вещественно, и отделим действительную и мнимую части получившегося выражения. В результате имеем два соотношения ( $\varphi = \operatorname{arctg} v$ ):

$$(5.2) \quad \cos[(\gamma + 2)\varphi] = \cos^{\gamma+2}\varphi, \quad n \operatorname{tg}\varphi + \operatorname{tg}[(\gamma + 2)\varphi] = 0.$$

В силу вещественности коэффициентов в (5.1) и вытекающей из нее симметрии относительно смены знака  $\Phi$  в выражениях (5.2) достаточно рассмотреть интервалы  $v \geq 0$  или  $\varphi \in (0, \pi/2)$ .

В зависимости от значения параметра  $\gamma$  соотношения (5.2) будут давать несколько ветвей, которые разбивают всю плоскость  $(\gamma, n)$  на чередующиеся области устойчивости и неустойчивости стационарного решения. Физическое значение имеет достаточно ограниченное их число. Это связано как с положительностью параметров  $\gamma$  и  $n$ , так и с их изменением в ограниченных интервалах. Большинство работ по данной тематике содержат эти параметры не выходящими из диапазонов  $\gamma \in (0, 5)$ ,  $n \in (0, 15)$ , хотя встречаются и варианты, когда  $\alpha \rightarrow -1$ , т. е.  $\gamma \rightarrow \infty$ .

Основной интерес представляет ветвь, имеющая линию  $\gamma = 1$  вертикальной асимптотой (рис. 2, кривая 1). Естественно, что речь может идти только о ветвях первого квадранта плоскости  $(\gamma, n)$ . В демонстративных целях на рис. 2 представлена еще одна ветвь (линия 2), существующая при  $\gamma > 5$  ( $\gamma = 5$  — ее вертикальная асимптота). Она проходит в области достаточно

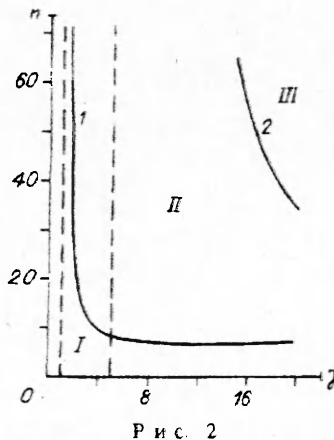


Рис. 2

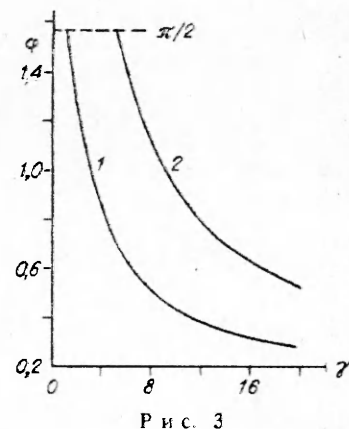


Рис. 3

больших с точки зрения приложений значений параметров. В нашей проблеме ее значение, по-видимому, невелико. Но в других задачах данной проблематики вполне может оказаться, что аналогичная ветвь уже должна быть принята во внимание при анализе устойчивости системы.

Кривые 1 и 2 разбивают первый квадрант плоскости  $(\gamma, n)$  на области устойчивости I и III и неустойчивости II. Другие кривые, определяющие линии смены устойчивости, выходят за пределы рис. 2. Отметим, что при  $\gamma \rightarrow 1$  показатель степени  $n$  на первой линии рис. 2 имеет асимптотическое значение  $n \cong (36/\pi^2)/(\gamma - 1)^2$ , а при  $\gamma \rightarrow \infty$  —  $n \cong \gamma^{1/2}$ . Последнее асимптотическое равенство пригодно для расчетов при  $\gamma$  порядка нескольких сотен, т. е. малополезно на практике. В приведенном на рис. 2 диапазоне изменения параметра  $\gamma$  появляется только незначительное возрастание  $n$ .

На рис. 3 представлены графики переменной  $\varphi$ , связанной с  $v$  соотношением  $v = \operatorname{tg} \varphi$ . Номера кривых на рис. 3 соответствуют ветвям 1 и 2 рис. 2. Данные кривые позволяют определить частоту автоколебаний в момент их возникновения.

#### ЛИТЕРАТУРА

1. Нигматулин Р. И. Основы механики гетерогенных сред.— М.: Наука, 1978.
2. Дорохов И. Н., Кафаров В. В., Кольцова Э. М. Уравнения термогидромеханики двухфазной полидисперской среды с фазовыми переходами при непрерывном распределении частиц по размерам // ПМТФ.— 1978.— № 1.
3. Дорохов И. Н., Кафаров В. В., Кольцова Э. М. Уравнения термогидромеханики для описания процессов массовой кристаллизации из растворов и газовой фазы // ПМТФ.— 1981.— № 6.
4. Буйков М. В. Испарение полидисперсного тумана // Коллоидн. журн.— 1962.— Т. 24, № 4.
5. Буевич Ю. А. О кинетике массообмена полидисперсной системы частиц с окружающей средой // ПМТФ.— 1966.— № 1.
6. Лукин А. Я., Степанов А. М. Динамика формирования аэрозоля из пересыщенного пара // ПМТФ.— 1984.— № 3.
7. Мошинский А. И., Сибирев М. И. Массовая кристаллизация с учетом пульсаций скорости роста кристаллов // ПМТФ.— 1984.— № 6.
8. Берлинер Л. Б. Кинетика кристаллизации солей из пересыщенных растворов // ЖФХ.— 1974.— Т. 48, № 3.
9. Мошинский А. И. Некоторые случаи кристаллизации солей из растворов // ТОХТ.— 1984.— Т. 18, № 4.
10. Lie S. J., Shinnar R., Katz S. The stability and dynamic behavior of a continuous crystallizer with a fines trap // AIChE J.— 1971.— V. 17, N 6.
11. Anshus B., Ruckenstein E. On the stability of a well stirred isothermal crystallizer // Chem. Eng. Sci.— 1973.— V. 28, N 2.
12. Берлинер Л. Б., Горин В. Н. Исследование динамики непрерывного изотермического кристаллизатора // ТОХТ.— 1973.— Т. 7, № 5.
13. Буевич Ю. А., Мансуров В. В. К теории ударного кипения // ИФЖ.— 1984.— Т. 47, № 6.
14. Буевич Ю. А., Мансуров В. В., Наталуха И. А. Слабонелинейные автоколебания при кристаллизации в объеме // ИФЖ.— 1985.— Т. 49, № 2.
15. Литуновский Н. И., Тодес О. М. Кинетика роста кристаллов в области, лимитируемой скоростью молекулярной диффузии // ЖТФ.— 1953.— Т. 23, вып. 7.
16. Чернов А. А., Гиваргизов Е. И., Багдасаров Х. С. и др. Современная кристаллография. Т. 3. Образование кристаллов.— М.: Наука, 1980.
17. Коул Дж. Методы возмущений в прикладной математике.— М.: Мир, 1972.
18. Тодес О. М., Себалло В. А., Гольцикер А. Д. Массовая кристаллизация из растворов.— Л.: Химия, 1984.
19. Годунов С. К. Уравнения математической физики.— М.: Наука, 1971.
20. Кидияров Б. И. Кинетика образования кристаллов из жидкой фазы.— Новосибирск: Наука, 1979.
21. Лаврентьев М. А., Шабат Б. В. Методы теории функций комплексного переменного.— М.: Наука, 1973.

г. Санкт-Петербург

Поступила 20/IV 1992 г.,  
в окончательном варианте — 18/XI 1992 г.